

---

## **ПРИКАСПИЙСКИЙ ЖУРНАЛ:** **управление и высокие технологии № 4 (8) 2009**

---

турных дефектов (см. рис. 1). Это связано с тем, что магнитные свойства PFN зависят от местоположения антиструктурных дефектов. Также на результаты влияет и то, что PFN является спиновым стеклом [2, 4]. Для определения глобального минимума энергии сети Хопфилда для PFN следует рассмотреть несколько начальных конфигураций с различным расположением антиструктурных дефектов. Увеличение характерного размера кристаллической решетки (т.е. увеличение количества нейронов в сети) способствует устранения сходимости к локальным минимумам, но увеличивает время компьютерного эксперимента. Для того, чтобы избежать попадания сети Хопфилда в локальные минимумы, можно рассмотреть алгоритм, построенный на основе нейросетевой модели и генетического алгоритма.

### **Библиографический список**

1. *Прудников, В. В.* Фазовые переходы и методы их компьютерного моделирования / В. В. Прудников, А. Н. Вакилов, П. В. Прудников. – М. : ФИЗМАТЛИТ, 2009.
2. *Тарасевич, Ю. Ю.* Исследование влияния степени упорядочения катионов на магнитные свойства двойных 1 : 1 перовскитов в рамках модели Гейзенберга / Ю. Ю. Тарасевич, Т. В. Панченко // Физика твердого тела. – 2007. – Т. 49, вып. 7. – С. 653–655.
3. *Хайкин, С.* Нейронные сети: полный курс / Саймон Хайкин. – 2-е изд. – М. : Изд. дом «Вильямс», 2008.
4. *Navarro, J.* Antisites and electron-doping effects on the magnetic transition of  $\text{Sr}_2(\text{FeMo})\text{O}_6$  double perovskites / J. Navarro, J. Nogués, J. S. Muñoz, J. Fontcuberta // Phys. Rev. – 2003. – Bd. 67. – 6 p.
5. *Ogale, A. S.* Octahedral cation site disorder effects on magnetization in double-perovskite  $\text{Sr}_2\text{FeMoO}_6$ : Monte Carlo simulation study / A. S. Ogale, S. B. Ogale, R. T. Ramesh., T. Venkatesan // Appl. Phys. Lett. – 1999. – Vol. 75, № 4. – P. 537–539.

УДК 539.193/.194;535/.33/34

### **КОМПЬЮТЕРНЫЙ РАСЧЕТ КОЛЕБАТЕЛЬНОЙ ДИНАМИКИ ПОЛИАКРИЛОНИТРИЛА**

**М.Д. Элькин, Е.А. Джалимухамбетова, М.Ф. Булатов**

*На примере полиакрилонитрила описана схема расчета колебательных спектров полимеров в рамках гибридного метода функционала плотности DFT/B3LYP.*

**Ключевые слова:** полиакрилонитрил, молекулярное моделирование, DFT, колебательный спектр, ИК-спектр.

**Key words:** polyacrylonitrile, molecular modeling, ab initio methods, DFT, vibrational spectra, IR-spectra.

Изучение кристаллической структуры полиакрилонитрила (ПАН) с использованием методов колебательной спектроскопии является предметом большого количества публикаций. В работе [1] изложен анализ колебательных спектров ПАН для различных исходных конформационных моделей отдельных звеньев цепи в рамках классического подхода, связанного с переносом силовых полей и электрооптических параметров из соединений парафинового ряда и ацетонитрила. Достоверность получаемых таким способом молекулярных параметров нуждается в дополнительном подтверждении. С другой стороны, неэмпирические квантовые расчеты, учитывающие ангармонизм колебаний, позволяют более точно построить структурно-динамическую модель соединения. Для свободных молекул подобные исследования представлены в литературе достаточно широко, а публикации, посвященные построению моделей полимеров, встречаются редко. Для ПАН можем сослаться на работы [3–5], где анализ колеба-

## СИСТЕМНЫЙ АНАЛИЗ, МАТЕМАТИЧЕСКОЕ МОДЕЛИРОВАНИЕ

тельных состояний осуществлялся в гармоническом приближении теории молекулярных колебаний на основании расчетов в рамках метода Хартри-Фока. Для описания колебаний молекулярных фрагментов  $\text{CH}_2$  и  $\text{CH}_3$  данный метод неработоспособен [2].

При использовании известных компьютерных технологий неэмпирического расчета колебательных спектров полимеров, помимо проблемы выбора базиса и метода расчета, возникает вопрос о количестве рассматриваемых звеньев цепи, формировании ее конечных фрагментов. Отметим, что такая проблема имеет место и при классическом подходе [3]. Для ПАН\_1 (рис. 1а) конечными фрагментами нами выбраны метильные группы ( $\text{CH}_3$ ), поскольку замена двух атомов водорода этой группы на метильный и акрильный ( $\text{C}\equiv\text{N}$ ) фрагменты, дает новое звено цепи ПАН. Взаимное расположение указанных фрагментов для двух соседних звеньев определяет конформацию соединения ПАН\_2 (рис. 1б). В этом случае меняется симметрия модельной молекулы ( $\text{C}_s$  и  $\text{C}_2$ ). Для других конформаций модельной молекулы из двух звеньев не удалось достичь оптимизации геометрии. При выборе метода неэмпирического квантового расчета предпочтение отдано методу функционала плотности DFT/B3LYP [4]. Выбор базиса влияет на смещение полос в высокочастотной области колебательного спектра (валентные и деформационные колебания связей CH). Здесь смещение достигает  $30 \text{ cm}^{-1}$ , однако на предварительную интерпретацию колебаний это не влияет. Поляризационными и диффузионными эффектами атомного базиса можно пренебречь. Поэтому остановились на базисе 6-311 G(d, p).

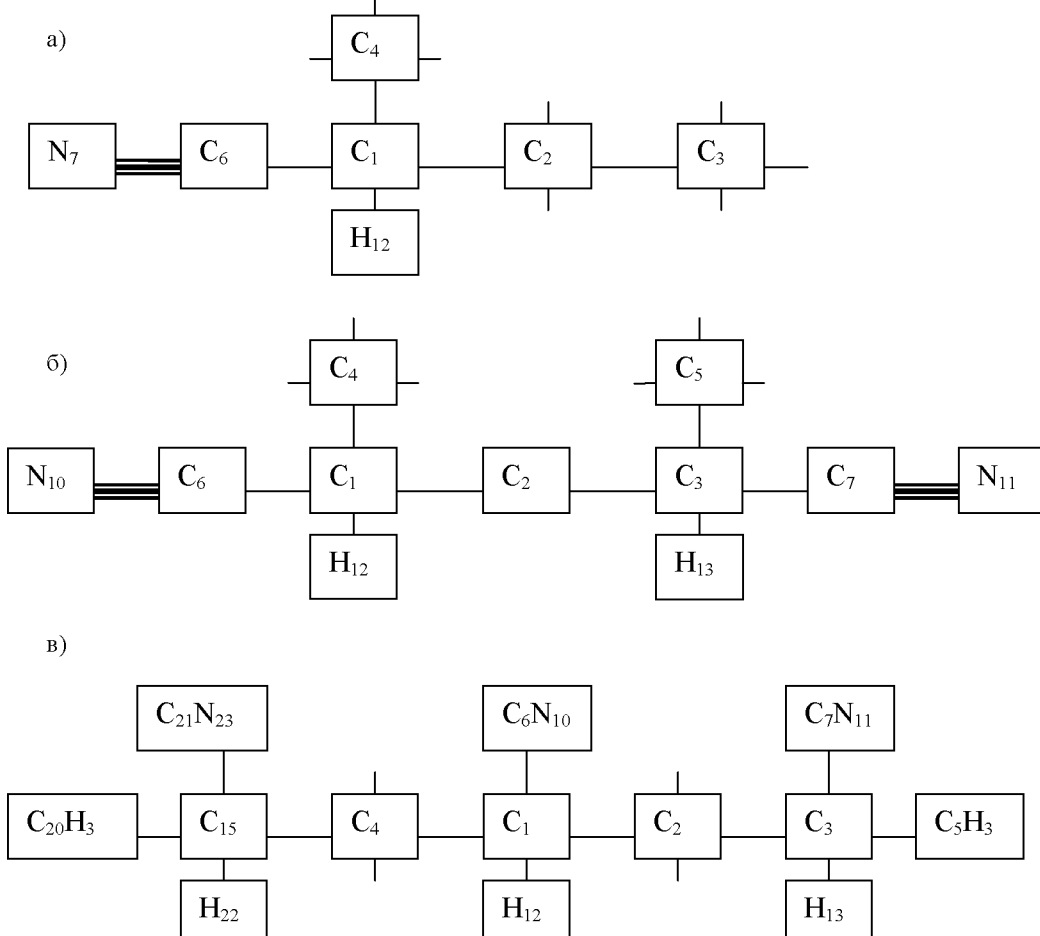


Рис. 1. Модельные соединения а) ПАН\_1; б) ПАН\_2; в) ПАН\_3

## ПРИКАСПИЙСКИЙ ЖУРНАЛ: управление и высокие технологии № 4 (8) 2009

### *Модельные расчеты геометрии и колебательных состояний ПАН*

**ПАН\_1.** Длины связей  $C_1C_2$ ,  $C_1C_4$ ,  $C_1C_6, C_2C_3$  равны, соответственно, 1,55, 1,54, 1,47, 1,53 Å. Длина связи  $C_6N_{10}$  – 1,15 Å, длины связей CH изменяются в пределах 1,09–1,10 Å. Приведенные данные с точностью до 0,01 Å совпадают с соответствующими длинами связей в пропане и ацетонитриле. Отклонение валентных углов от тетраэдрических значений не превышает 3°. Исключение составляет значение угла A ( $C_1C_2C_3$ ) = 114,2°. Отклонение угла A ( $C_1C_6N_{10}$ ) от линейного укладывается в интервал 1,5°. Оптимизация геометрии достигается для трансконформационного расположения молекулярных фрагментов относительно связей  $C_1C_2$  и  $C_2C_3$ .

Расчеты параметров адиабатического потенциала модельной молекулы и интерпретация фундаментальных состояний осуществлена в ангармоническом приближении теории молекулярных колебаний, что позволило оценить влияние ангармонических резонансов. Результаты представлены в табл. 1.

Таблица 1  
Интерпретация фундаментальных колебаний модельной молекулы ПАН\_1

Форма	$v_{\text{экс}}$	$v_{\text{гар}}$	$v_{\text{анг}}$	ИК	КР	Форма	$v_{\text{экс}}$	$v_{\text{гар}}$	$v_{\text{анг}}$	ИК	КР
q	2973*	3114	2970	20,6	67,4	$\beta, \alpha, \phi$	1227	1284	1252	0,19	1,34
q	2973*	3109	2963	28,8	61,6	$\alpha, \beta, \phi$	1175	1179	1152	0,17	2,61
q',q	2969*	3102	2961	23,8	55,2	$\beta, \alpha$	1115	1140	1119	0,99	1,12
q,q'	2930*	3093	2949	36,9	57,7	$Q', Q, \alpha$	1070	1111	1084	2,49	6,86
q	2930	3062	2918	8,67	78,8	$Q', Q$	–	1027	1001	0,25	0,74
q	2890*	3039	2954	26,0	150	$Q', Q, \alpha$	–	1021	1004	4,98	3,81
q'	2890*	3030	2955	32,3	42,8	$\alpha, \beta, \phi$	–	980	966	4,84	0,20
q,q'	2875*	3027	2951	9,10	119	$Q, Q'', \alpha$	862	893	879	0,42	4,52
q"	2860	3017	2882	2,34	139	$\beta, \alpha$	778	820	812	2,11	3,09
$Q_{\text{CN}}$	2237	2348	2318	8,30	68,7	$Q'', \beta$	–	745	736	0,35	4,89
$\alpha$	1487*	1509	1471	6,87	2,91	$\theta, \rho, \gamma''$	–	588	583	0,22	1,21
$\alpha$	1468*	1505	1462	8,44	6,53	$\rho, \theta, \gamma''$	532	552	543	1,08	3,02
$\alpha$	1468*	1502	1461	5,48	13,2	$\gamma$	430	408	408	0,45	2,33
$\alpha, \beta$	1447	1498	1461	7,08	16,7	$\theta, \rho$	–	281	277	1,24	1,44
$\alpha$	1460*	1488	1450	1,80	4,66	$\gamma, \gamma''$	259	266	271	0,85	0,54
$\alpha$	1390*	1422	1390	6,18	0,60	xx, $\gamma''$	223*	226	214	0,14	0,08
$\alpha$	1360	1416	1387	1,85	1,58	xx, $\gamma''$	–	217	199	1,52	1,31
$\beta$	1335*	1370	1338	3,50	0,73	xx, $\gamma''$	127	163	170	3,60	1,98
$\beta, \phi$	1310	1367	1332	2,00	8,18	xx	–	102	109	1,45	0,67
$\phi, \beta$	1247	1310	1285	0,05	8,53						

Отметим, что качественная оценка смещения колебательных полос фундаментальных колебаний может быть осуществлена как применением процедуры масштабирования, так и использованием методов спектроскопической массы. При отсутствии ангармонических резонансов получаемые на этом пути расчетные данные хорошо согласуются с результатами использования адиабатической теории возмущения второго порядка для описания ангармонизма колебаний [2]:

$$E^{(v)} = v_s(n_s + 1/2) + \chi_{sr}(n_s + 1/2)(n_r + 1/2)(1 + \delta_{sr}/2), \quad (1)$$

где  $\chi_{sr}$  – ангармонические постоянные, являющиеся функциями параметров адиабатического потенциала,  $v_s$  – частоты фундаментальных колебаний,  $n_s$  – колебательные квантовые числа.

---

## СИСТЕМНЫЙ АНАЛИЗ, МАТЕМАТИЧЕСКОЕ МОДЕЛИРОВАНИЕ

---

Соотношение (1) позволяет оценить обертонные состояния свободной молекулы. Интерпретация фундаментальных колебаний модельной молекулы ПАН\_1, представленная в таблице 1, позволяют сделать вывод о характеристичности колебаний метильной группы ( $q, \alpha$  – обозначают, соответственно, валентные и деформационные колебания фрагмента  $\text{CH}_3$ ), характеристичности колебаний фрагмента  $\text{CH}_2$  ( $q'$ ,  $\beta$ ), валентных и деформационных колебаний связей  $\text{CH}$  ( $q''$ ,  $\phi$ ), валентных колебаний связи  $\text{CN}$ . При этом расчетные значения частот указанных фундаментальных колебаний хорошо согласуются как с экспериментальными данными для указанных фрагментов (в таблице 1 помечено \*), так и с отнесением, предложенным для этих молекулярных фрагментов в работе [1]. Поэтому при рассмотрении последующих молекулярных моделей, связанных с наращиванием звеньев в полимерной цепи, указанные колебания не рассматриваются, так же как крутые колебания метильных групп ( $\chi_m$ ).

В дальнейшем интерес будет представлять характер поведения полос, интерпретированных как валентные колебания связей  $\text{CC}$ :  $\text{C}_1\text{C}_2(Q)$ ,  $\text{C}_1\text{C}_4(Q')$ ,  $\text{C}_1\text{C}_6(Q'')$ , деформационные колебания валентных углов углеродного остова ( $\gamma, \gamma', \gamma''$ ), деформационные колебания валентных углов нитрильного фрагмента  $\text{CCN}(\theta, \rho)$ . Все эти колебания лежат в диапазоне ниже  $1100 \text{ cm}^{-1}$ , имеют слабую интенсивность в спектрах ИК и КР. Влияние ангармонического смещения фундаментальных полос можно оценить процедурой масштабирования.

Добавление второго звена приводит к модельной молекуле ПАН\_2 (рис. 1б). Как указано выше, здесь имеют место две конформационные модели, определяемые относительным положением фрагментов  $\text{N}_{10}\text{C}_6\text{C}_1\text{H}_{12}$  и  $\text{N}_{11}\text{C}_7\text{C}_3\text{H}_{13}$ . Первая конформационная модель имеет плоскость симметрии ( $C_s$ ), вторая – ось симметрии второго порядка ( $C_2$ ).

Оптимизация геометрии дает следующие результаты. Отличие соответствующих длин валентных связей ПАН\_1 и ПАН\_2 не превосходит  $0,002 \text{ \AA}$ , тетраэдрических валентных углов –  $0,8^\circ$ . Такого же порядка отличие для соответствующих геометрических параметров конформационных моделей ПАН\_2. Наибольшее различие  $\sim 1,7^\circ$  имеет место для угла  $A(\text{C}_1\text{C}_2\text{C}_3)$  конформеров. Сравним расстояния между атомами фрагментов  $\text{N}_{10}\text{C}_6\text{C}_1\text{H}_{12}$  и  $\text{N}_{11}\text{C}_7\text{C}_3\text{H}_{13}$  конформеров. Для конформера симметрии  $C_s$  оптимизация дает следующие значения:  $R(\text{N}_{10}, \text{N}_{11}) = 3,75 \text{ \AA}$ ,  $R(\text{H}_{12}, \text{H}_{13}) = 2,44 \text{ \AA}$ ,  $R(\text{N}_{10}, \text{H}_{13}) = 4,35 \text{ \AA}$ . Для конформера симметрии  $C_2$  соответствующие расстояния  $5,20 \text{ \AA}$ ,  $3,07 \text{ \AA}$ ,  $3,10 \text{ \AA}$ . Как это сказывается на значениях частот фундаментальных колебаний, показано в таблице 2.

Имеет место расхождение частот  $\sim 50 \text{ cm}^{-1}$  для валентных колебаний углеродного скелета  $\text{C}_1\text{C}_2(Q)$  и деформационного угла  $\text{C}_1\text{C}_2\text{C}_3(\gamma)$ . Для остальных колебаний в рассматриваемом диапазоне имеющиеся различия в параметрах полос не могут служить основанием для идентификации конформеров.

Следует отметить, что интерпретация полос фрагмента NCC в ПАН\_1 и ПАН\_2 дает основание говорить об их характеристичности по частоте при наращивании звеньев полимерной цепи.

Оптимизация геометрии модельной молекулы ПАН\_3 (рис. 1в) осуществлена для двух конформаций, связанных с взаимным расположением фрагментов NCC. Первая конформация соответствует простой трансляции указанного фрагмента вдоль трехзвеневой цепи, вторая – перестановка центрального фрагмента  $\text{N}_{10}\text{C}_6\text{C}_1$  и примыкающей связи  $\text{C}_1\text{H}_{12}$ . Иными словами, два соседних звена образуют конформационную модель ПАН\_2. Обе модели принадлежат группе симметрии  $C_s$ .

**ПРИКАСПИЙСКИЙ ЖУРНАЛ:**  
**управление и высокие технологии № 4 (8) 2009**

Таблица 2  
 Интерпретация фундаментальных колебаний модельной молекулы ПАН\_2

Форма	v <sub>экс</sub>	v <sub>тап</sub>	v <sub>ант</sub>	ИК	KР	Форма	v <sub>тап</sub>	v <sub>ант</sub>	ИК	KР
Модель 1						Модель 2				
Q'	1044	1082	1052	1,1	2,1	Q',α	1051	1022	1,4	6,4
Q';α		1047	1018	1,2	4,9	Q',α	1017	989	0,1	1,1
Q;α		1027	999	0,1	4,8	Q,α	968	942	2,2	0,7
α;Q		934	909	0,1	1,4	Q, Q"	911	887	2,3	1,2
Q"	778	811	790	0,2	0,1	Q"	792	772	0,8	7,0
Q"		772	753	0,6	4,7	Q"	774	755	0,1	1,4
θ,γ",γ'		601	587	0,2	5,7	θ,ρ,γ"	614	599	0,2	3,8
ρ,γ",γ'		578	564	0,3	0,4	θ,ρ,γ"	580	566	0,4	0,5
θ,γ"		567	553	0,1	0,5	θ,ρ,γ"	569	555	1,7	0,1
ρ,γ"	532	541	529	1,5	4,1	θ,ρ,γ"	543	530	0,3	5,2
γ,γ'		364	356	0,7	1,9	γ	369	361	0,1	4,7
γ'		353	345	0,2	0,1	γ'	356	349	1,0	0,1
xx,ρ,γ"		277	271	1,7	2,3	γ",ρ,xx	272	266	0,2	0,9
xx,ρ,γ"	259	266	261	0,1	0,2	γ",ρ,xx	263	257	3,2	2,3
xx,ρ,γ"		231	226	2,2	1,8	xx,γ'	220	215	2,0	1,5
xx,γ"		219	214	0,2	0,3	xx	214	210	0,2	0,3
γ"		210	205	0,3	1,3	xx,γο	206	202	0,1	1,4
γ		155	152	0,9	0,2	xx,γ"	202	198	6,4	1,0
γ"	127	153	150	12	5,1	γ,γ"	109	107	0,2	2,1

Отличие в значениях соответствующих геометрических параметров для валентных связей и валентных углов модельных молекул ПАН\_2 и ПАН\_3 находятся в границах, указанных выше при сравнении ПАН\_1 и ПАН\_2. Расстояния между атомами соседних фрагментов NCCN для первого конформера таковы: R<sub>NN</sub> = 3,76 Å, R<sub>NH</sub> = 2,46 Å, R<sub>NH</sub> = 3,87 Å. Для второго конформера, соответственно, 5,19 Å, 3,04 Å, 3,09 Å. Таким образом, добавление звена приводит к увеличению R<sub>NH</sub> для первой коформационной модели ПАН\_3. Сопоставление расчетных значений фундаментальных частот колебаний для рассмотренных двух конформеров модельной молекулы ПАН\_3 проведено в таблице 3. Различие, по которому можно идентифицировать конформеры определяется диапазоном ниже 200 см<sup>-1</sup>. Следует отметить, что численные методы реализованные в программном пакете Gaussian [6] в данном спектральном интервале не обладают достаточной степенью надежности.

Сравнение модельных расчетов, представленных в таблицах 2 и 3, подтверждает предположение о характеристичности колебаний фрагмента NCC (Q",θ, ρ) частоте. По формам колебаний такой вывод не очевиден ввиду их делокализации. Особенно это касается деформационных колебаний фрагмента NCC. С увеличением числа звеньев модельной полимерной цепи нижняя граница деформационных колебаний валентных углов углеродного остова опустилась ниже 100 см<sup>-1</sup>. Для выяснения дальнейшей тенденции в поведении указанных колебаний были осуществлены модельные расчеты ПАН\_4 и ПАН\_5. Как и в предыдущих модельных расчетах, рассматривались две конформационные модели. Одна соответствует трансляции звеньев (симметрия модельной молекулы C<sub>s</sub>), для другой имеет место чередование пространственной ориентации фрагмента NCCN (для четного числа звеньев симметрия C<sub>2</sub>). Оптимизированные значения длин валентных связей для ПАН\_4 и ПАН\_5 с точностью до третьего знака мантиссы совпадают с соответствующими значениями для предыдущих молекулярных моделей, отклонения от углов тетраэдрических значений не превышают 3,5°

## СИСТЕМНЫЙ АНАЛИЗ, МАТЕМАТИЧЕСКОЕ МОДЕЛИРОВАНИЕ

за исключением углов ССС углеродного остова ( $\gamma$ ), соседних с фрагментом  $\text{CH}_2$ , лежащих в интервале 114,8–115,7°. При этом наблюдается тенденция уменьшения значения с увеличением числа звеньев в цепи полимера 116,6°, 116,0, 115,7°, 114,8°. Такие изменения не влияют на положение полос в колебательных спектрах.

Таблица 3  
Интерпретация фундаментальных колебаний модельной молекулы ПАН\_3

Форма	$v_{\text{экс}}$	$v_{\text{гар}}$	$v_{\text{анг}}$	ИК	КР	Форма	$v_{\text{гар}}$	$v_{\text{анг}}$	ИК	КР
Модель 1						Модель 2				
$\alpha,\beta,Q$		1118	1086	2,2	4,4	$Q,Q',Q''$	1104	1073	3,3	2,3
$\beta,Q,\alpha$		1083	1053	0,2	2,9	$\alpha,Q',\phi$	1103	1072	0,1	0,1
$Q',Q$	1044	1066	1036	1,6	4,3	$Q,Q',\phi$	1069	1040	1,1	16
$Q$		1042	1014	0,1	9	$Q,Q',Q''$	1027	999	0,1	0,2
$Q,Q'$		1033	1005	0,1	1,8	$Q,Q',Q''$	1021	994	1,0	0,2
$\alpha,Q$		997	970	0,3	3,3	$\alpha,Q,\gamma$	976	950	0,1	0,7
$\alpha,Q,Q''$		939	914	0,6	11	$\alpha,Q,\beta$	952	927	0,6	9,7
$\alpha,Q,$		928	904	1,4	0,2	$\alpha,Q,Q''$	932	908	0,2	1,9
$Q',\beta$	862	901	878	0,5	1,4	$\beta,Q'$	890	866	2,8	0,5
$Q''$	778	832	810	0,1	3,3	$Q''$	813	793	1,1	9,4
$Q''$		785	766	0,1	0,2	$Q'',\alpha,\gamma$	777	757	0,2	2,3
$Q''$		778	758	0,6	4,9	$Q''$	769	749	0,1	0,1
$\rho,\gamma',\gamma''$		621	606	1,1	0,2	$\theta,\gamma''$	646	631	0,4	0,4
$\rho,\gamma''$		595	581	0,1	4,5	$\rho,\gamma''$	598	584	0,3	3,4
$\rho,\theta,\gamma''$		570	556	0,4	3,7	$\theta,\gamma''$	577	563	2,4	0,6
$\rho,\theta,\gamma''$		564	551	0,3	0,6	$\theta,\gamma''$	575	562	0,5	0,8
$\rho,\gamma''$	532	545	532	0,2	0,9	$\rho$	552	539	0,1	0,1
$\rho,\gamma''$	532	536	524	1,7	4,3	$\rho,\gamma'$	543	530	0,4	6,3
$\rho,\theta,\gamma$		406	397	0,2	0,4	$\theta,\gamma$	420	410	0,3	3,8
$\gamma',\gamma$		355	347	0,2	0,2	$\gamma',\gamma o$	362	354	1,2	0,1
$\gamma',\gamma$		294	288	1,4	2,2	$\rho,\gamma'$	292	286	0,5	3,1
$\gamma',\gamma,xx$		290	284	0,1	0,2	$\gamma o,\gamma'$	270	265	0,1	0,1
$\theta,\gamma''$		276	270	2,7	2,7	$\theta,\gamma'$	269	263	1,5	1,8
$\rho,\gamma'$	259	250	245	0,2	0,1	$\rho,\gamma o$	258	253	0,8	1,6
$\rho,\gamma''$	259	245	240	2,9	2,7	$\theta,\rho,\gamma''$	253	248	3,6	2,9
$xx,\gamma''$		224	220	0,1	0,2	$xx$	220	216	2,9	2,2
$xx,\gamma''$		223	218	1,3	1,1	$xx$	219	215	0,1	0,2
$\rho,\gamma''$		185	181	3,9	1,3	$\theta,\gamma''$	209	205	6,5	1,2
$\gamma'',\theta$	127	152	149	0,2	2,5	$\gamma''$	174	170	0,6	0,7
$\theta,\gamma'$	127	134	131	16	4,6	$\theta,\gamma''$	108	106	0,1	3,1
$\gamma,\gamma'$	86	96	94	1,4	0,1	$\gamma,\gamma'$	95	93	20	2,3

Сравним, как это сделано выше, расстояния между атомами азота и водорода двух соседних фрагментов NCCN. Для ПАН\_4, модель\_1:  $R_{NN} = 3,78 \text{ \AA}$ ,  $R_{HH} = 2,51 \text{ \AA}$ ,  $R_{NH} = 3,62 \text{ \AA}$  и  $R_{NN} = 3,68 \text{ \AA}$ ,  $R_{HH} = 2,42 \text{ \AA}$ ,  $R_{NH} = 4,31 \text{ \AA}$ . Для второй конформационной модели  $R_{NN} = 5,22 \text{ \AA}$ ,  $R_{HH} = 3,08 \text{ \AA}$ ,  $R_{NH} = 3,09 \text{ \AA}$  и  $R_{NN} = 5,15 \text{ \AA}$ ,  $R_{HH} = 3,15 \text{ \AA}$ ,  $R_{NH} = 3,14 \text{ \AA}$ . Для ПАН\_5, модель\_2:  $R_{NN} = 5,20 \text{ \AA}$ ,  $R_{HH} = 3,09 \text{ \AA}$ ,  $R_{NH} = 3,09 \text{ \AA}$  и  $R_{NN} = 5,18 \text{ \AA}$ ,  $R_{HH} = 3,13 \text{ \AA}$ ,  $R_{NH} = 3,12 \text{ \AA}$ . Первый набор относится к концевым звеньям модельной молекулы, второй к внутренним звеньям цепи.

---

## **ПРИКАСПИЙСКИЙ ЖУРНАЛ: управление и высокие технологии № 4 (8) 2009**

---

Добавление звеньев цепи полимера не меняет общей картины расположения интерпретированных полос. Валентные колебания связей СС углеродного остова проявляются в частотных диапазонах  $990\text{--}1090\text{ см}^{-1}$  ( $Q, Q'$ ),  $750\text{--}820\text{ см}^{-1}$  ( $Q''$ ), деформационные колебания этого остова лежат ниже  $410\text{ см}^{-1}$ . Деформационные колебания фрагмента NCC попадают в частотный интервал  $520\text{--}610\text{ см}^{-1}$ . В интервале от  $100$  до  $300\text{ см}^{-1}$  имеет место делокализация деформационных колебаний ( $\gamma', \gamma'', \theta, \rho$ ). В диапазон ниже  $100\text{ см}^{-1}$  попадает деформационное колебание углеродного остова ( $\gamma$ ) и крутильные колебания фрагментов относительно связей СС этого остова. Идентификация конформационных моделей затруднена из-за близкого расположения и низкой интенсивности колебательных полос в низкочастотной части спектра.

1. Метод функционала плотности DFT/B3LYP позволяет построить структурно-динамическую модель полиакрилонитрила, оценить геометрическую структуру и конформационные свойства исследуемого полимера, параметры адиабатического потенциала. Выбор базиса расчета принципиального значения не имеет. Однако более предпочтителен базис 6-311 G(d,p). Влиянием поляризационных и диффузионных эффектов атомных орбиталей можно пренебречь.

2. Использование ангармонического приближения позволяет улучшить согласие с экспериментом. Особенно это касается высокочастотной части колебательного спектра, куда попадают валентные и деформационные колебания связей CH, валентное колебание связи CN. Эти колебания, как и ожидалось, следует считать характеристическими. Их интерпретация не вызывает затруднений.

3. Для выяснения закономерностей в поведении колебательных полос низкочастотной области спектра и их интерпретации при наращивании звеньев полимерной цепи следует учитывать кинематическое и силовое взаимодействие не менее двух соседних звеньев.

4. Идентификация различных конформационных моделей для конечного числа звеньев затруднена ввиду делокализации колебаний в низкочастотной части спектра и низкой интенсивности колебательных полос.

5. Имеет место существенное различие в расстояниях между атомами молекулярных фрагментов NCCN двух соседних звеньев для различных конформаций этих фрагментов, что должно сказаться на межмолекулярном взаимодействии звеньев полимера с окислами металлов. Такие модельные расчеты нами осуществляются.

### **Библиографический список**

1. Грибов, Л. А. Теоретический анализ и интерпретация колебательных спектров полиакрилонитрила и полиметакрилонитрила / Л. А. Грибов, С. Д. Демухамедова, О. В. Зубкова // Журнал прикладной спектроскопии. – 1983. – Т. 38, № 4. – С. 605–613.
2. Пулин, В. Ф. Исследование динамики молекулярных соединений различных классов / В. Ф. Пулин, М. Д. Элькин, В. И. Березин. – Саратов : СГТУ, 2002. – 548 с.
3. Mathieu, D. Dependence of the vibrational frequencies and intensities on the configuration of polyacrylonitrile an ab initio study / D. Mathieu [et al.] // Journal Chemical Physics. – 1993. – Vol. 171 (1). – P. 133–143.
4. Mathieu, D. Insight into polyacrylonitrile molecular structure from calculated vibrational frequencies and infrared intensities / D. Mathieu [et al.] // Chemical Physics. – 1994. – Vol. 188 (2). – P. 183–195.
5. Zhaoxiang, W. The vibrational spectroscopic study of polyacrylonitrile-based electrolyte / W. Zhaoxiang [et al.] // Spectrochimica Acta. – 1996. – Vol. 52A, № 6. – P. 691–703.
6. Gaussian 03. Revision B.03 / M. J. Frisch [et al.]. – Pittsburgh : Gaussian Inc., 2003.